

# Vedlegg

## Vedlegg 1: Tegnforklaring – NGUs standardsymboler: polygoner, løsmasselinjer og punktsymboler

Polygoner	
010-Morenemateriale, uspesifisert	073-Forvittringsmateriale, stein- og blokkritt, dannet ved frostsprengning
012-Morenemateriale, usammenhengende eller tynt dekke over berggrunnen	088-Steinbreavsetning
011-Morenemateriale, sammenhengende dekke, stedvis med stor mektighet	110-Bart fjell/fjell med tynt torvdekke, uspesifisert
017-Rogenmorene	130-Bart fjell
015-Randmorene/randmorenebelte	140-Bart fjell/fjell med usammenhengende eller tynt løsmassedecke
013-Moreneleire	101-Usammenhengende eller tynt løsmassedecke over berggrunnen, flere løsmassetypen, uspesifisert
016-Drumlin	100-Humusdekke/tynt torvdekke over berggrunn
014-Avsmeltningsmorene (Ablasjonsmorene)	102-Sammenhengende løsmassedecke av flere jordarter
035-Innsjøavsetning (Lakustrin avsetning)	090-Torv og myr (Organisk materiale)
036-Bresjø-/brekkammer og innsjøavsetning (Glasilakustrin og lakustrin avsetning)	321-Steinritt sigende skråningsmateriale
051-Elveavsetning, sammenhengende dekke	320-Finkornig organiskholdig sigejord
052-Elveavsetning, usammenhengende/tynt dekke	120-Fyllmasse (antropogent materiale)
050-Elve- og bekkeavsetning (Fluvial avsetning)	121-Steintipp
037-Strandavsetning innsjø og/eller bresjø	122-Menneskepåvirket materiale, ikke nærmere spesifisert
021-Breelv- og elveavsetning	303-Leirskredavsetning, sammenhengende dekke, stedvis med stor mektighet
031-Breelv- og bresjø-/brekkammeravsetning (Glasifluvial og glasilakustrin avsetning)	304-Leirskredavsetning, usammenhengende eller tynt dekke over berggrunnen
030-Bresjø-/eller brekkammeravsetning (Glasilakustrin avsetning)	305-Fjellskredavsetning, sammenhengende dekke, stedvis med stor mektighet
053-Flomavsetning (uspesifisert)	306-Fjellskredavsetning, usammenhengende eller tynt dekke
054-Flomavsetning (bresjøtapning), sammenhengende	307-Steinsprangavsetning, sammenhengende dekke, stedvis med stor mektighet
055-Flomavsetning (bresjøtapning), usammenhengende/tynt	308-Steinsprangavsetning, usammenhengende eller tynt dekke
056-Flomavsetning, sammenhengende dekke	309-Snøskredavsetning, sammenhengende dekke, stedvis med stor mektighet
057-Flomavsetning, usammenhengende/tynt dekke	310-Snøskredavsetning, usammenhengende eller tynt dekke
060-Vindavsetning (Eolisk avsetning)	301-Jord- og flomskredavsetning, sammenhengende dekke
022-Ryggformet breelvavsetning (Esker)	302-Jord- og flomskredavsetning, usammenhengende eller tynt dekke
020-Breelvavsetning (Glasifluvial avsetning)	311-Fjellskred-/steinsprangavsetning, sammenhengende dekke, stedvis med stor mektighet
023-Haugformet breelvavsetning (Kame)	312-Fjellskred-/steinsprangavsetning, usammenhengende eller tynt dekke
043-Hav- og fjordavsetning og strandavsetning, usammenhengende eller tynt dekke over berggrunnen	313-Snø- og jordskredavsetning, sammenhengende dekke
040-Hav- og fjordavsetning, uspesifisert	314-Snø- og jordskredavsetning, usammenhengende eller tynt dekke
041-Hav- og fjordavsetning, sammenhengende dekke, ofte med stor mektighet	315-Jordskred- og steinsprangavsetning, sammenhengende dekke
042- Marin strandavsetning, sammenhengende dekke	316-Jordskred- og steinsprangavsetning, usammenhengende eller tynt dekke
044-Skjellsand	317-Snø- og steinsprangavsetning, sammenhengende dekke
045-Marin gyttje	318-Snø- og steinsprangavsetning, usammenhengende eller tynt dekke
070-Forvittringsmateriale, ikke inndelt etter mektighet	081-Skredmateriale, sammenhengende dekke, stedvis med stor mektighet
071-Forvittringsmateriale, sammenhengende dekke	082-Skredmateriale, usammenhengende eller tynt dekke over berggrunnen
072-Forvittringsmateriale, usammenhengende eller tynt dekke over berggrunnen	080-Skredmateriale, ikke inndelt etter mektighet
	3111- Steinskred

Løsmasselinjer	
9991, Definert fjellrygg	201, Strandvoll
1, Drumlin	202, Strandlinje i løsmasser
2, Drumlin-liknende form	203, Strandlinje i fjell
3, Randmorene	204, Abrasjonskant
5, Parallele furer i overflaten	301, Skredvifte, ytterkant
7, Sprekkefyll	302, Tydelig skredløp
8, Tilbaketrekningsmorene	303, Snøskredvoll
12, Ryggformet breelvavsetning, esker	304, Snøskredtunge
13, Breelvnedskjæring	305, Front av fjellskred
20, Lateralt smeltevannsløp (2)	306, Skredkant
21, Smeltevannsløp	307, Jord- og flomskredløp
22, Lateralt smeltevannsløp (1)	311, Snøskredløp
23, Smeltevannsløp over passområde	312, Levé
24, Stort gjel utformet av smeltevann (1)	313, Skrederosjonskant
25, Stort gjel utformet av smeltevann (2)	350, Steinstriper
26, Gjel utformet av smeltevann	351, Rygg
27, Spylefelt	352, Grop dannet av sandflukt
41, Iskontaktskrånning	353, Markert haug eller rygg
42, Strandlinje etter bredemt sjø	552, Kildehorisont
43, Strandvoll etter bredemt sjø	601, Antatt (sen-)kvartær forkastningslinje
	314, Steinskredfront
44, Ployemerke etter isfjell	
45, Stor dødisgrop	
46, Synkrog dannet av isfjell	
47, Breelvvifte	
51, Nivasjonskant	
52, Terrassekant (glasial)	
101, Elve- eller bekkenedskjæring	
102, Tidligere elve- eller bekeløp	
103, Flomløp	
105, Gjel utformet av elv og/eller breelv	
106, Vifteform	
107, Ravine	
108, Terrassekant	
109, Nedsåret elve- eller bekeløp, vannførende	
110, Nedsåret elve- eller bekeløp, sjeldent vannførende	
111, Stort gjel utformet av elv og/eller breelv (1)	
112, Stort gjel utformet av elv og/eller breelv (2)	
113, Strømgrop	

## Punktsymboler

M	10, Morenemateriale	↑	231, Sigdbrudd
t	100, Humusdekke / tynt torvdekke over berggrunnen	↓	232, Parabeltriss
Z	120, Fyllmasse	↕	233, Rundsva
Ml	13, Moreneleire	↕	260, Isskuringsstriper innenfor sektoren, kryssende, rel. alder 1 (2)
A	14, Ablasjonsmateriale	↕	261, Isskuringsstriper innenfor sektoren, kryssende, rel. alder 2 (2)
B	20, Breekvavsetning	↕	262, Isskuringsstriper innenfor sektoren, kryssende, rel. alder 3 (1)
≈	204, Rogenmorene	↕	263, Isskuringsstriper innenfor sektoren, kryssende, rel. alder 4 (1)
↑	211, Isskuringsstriper, bevegelse mot observasjonspunktet	↕	264, Isskuringsstriper innenfor sektoren, kryssende, rel. alder 5 (1)
↑	212, Isskuringsstriper, to mulige isbevegelsesretninger	↕	265, Isskuringsstriper innenfor sektoren (2)
↑	213, Isskuringsstriper, relativ alder ikke fastlagt	↕	266, Isskuringsstriper innenfor sektoren, kryssende, rel. alder 1 (2)
↕	214, Isskuringsstriper innenfor sektoren	↕	267, Isskuringsstriper innenfor sektoren, kryssende, rel. alder 2 (2)
↑	215, Kryssende isskuringsstriper, (relativ alder 1)	↕	268, Isskuringsstriper innenfor sektoren, kryssende, rel. alder 3 (2)
↑	216, Kryssende isskuringsstriper, (relativ alder 2)	↕	269, Isskuringsstriper innenfor sektoren, kryssende, rel. alder 4 (2)
↑	217, Kryssende isskuringsstriper, (relativ alder 3)	↕	270, Isskuringsstriper innenfor sektoren, kryssende, rel. alder 5 (2)
↑	218, Kryssende isskuringsstriper, (relativ alder 4)	↕	234, Haugformet breekvavsetning (kame)
↑	219, Kryssende isskuringsstriper, (relativ alder 5)	↕	241, Liten dødisgrop
↑	220, Kryssende isskuringsstriper, (relativ alder 6)	↕	243, Synkegrop dannet av isfjell
↑	221, Steinorientering i morene, økende antall haker med økende relativ alder	Bs	30, Brekkammer/bresjøavsetning
↑	222, Steinorientering i morene, to mulige isbevegelsesretninger	∩	303, Liten flygesanddyne
↑	223, Steinorientering i morene, relativ alder ikke bestemt	∩	304, Sanddyner
↑	224, Steinorientering i morene, relativ alder 1	∩	305, Haug og ryggformet overflate
↑	225, Steinorientering i morene, relativ alder 3	↪	307, Liten utglidning
↑	226, Steinorientering i morene, relativ alder 5	∩	311, Plastiske former i overflaten
∩	321, Tuemark	∩	312, Jettegryte
∩	322, Palsler	∩	313, Karst
∩	323, Polygonmark	V	60, Vindavsetning
∩	324, Sigejordstunge (sdlifuksjonstunge)	MG	601, Marin grense (m o.h.)
∩	325, Pingo	⊕	603, Radiokarbon-datering med referanse
In	35, Innsjøavsetning	⊕	610, Prøvelokalitet med referanse
Bi	36, Bresjø- og innsjøavsetning	⊕	615, Boring med referanse
W	37, Strandavsetning fra bresjø/innsjø	→	617, Elektrisk motstandsmåling med referanse
H	40, Hav- og fjordavsetning	×	666, Stratigrafipunkt - observert mektighet
∩	401, Liten fjellblotning	•	667, Stratigrafipunkt - estimert mektighet
△	402, Høyt blokkinnhold i overflaten	F	70, Forvitringsmateriale
⊕	404, Blokk, mindre enn ca.10 m <sup>3</sup>	~	701, Leir
⊕	405, Stor blokk, større enn ca.10 m <sup>3</sup>	≈	702, Siltig leir
*	406, Overflate sterkt påvirket av frostprosesser	≈	703, Leirig silt
a	407, Utvasket overflatelag, underliggende masser mer finkornige	—	704, Silt
Fp	408, Flompåvirkning	∩	705, Sandig silt
⊕	410, Grop dannet av snøskred	∩	706, Siltig sand
⊕	411, Leirskredavsetning	•	707, Sand
□	412, Steinsprang og fjellskred	••	708, Grusig sand
○	413, Jord- og flomskredavsetning	••	709, Sandig grus
★	414, Aktiv elve-/bekke- eller grunnvannserosjon i et lite område	•	710, Grus
☆	417, Snøskredavsetning	••	711, Steinig grus
~	419, Bakkeplanering	○	712, Grusig stein
U	42, Marin strandavsetning	○	713, Stein
★	421, Erosjon av sørpeskred	⊕	714, Blokk
∩	451, Steinsprangsblokk	∩	720, Rydningsrøys
E	50, Elve- og bekkeavsetning	R	80, Skredmateriale
⊕	501, Skjellokalitet	Sp	308, Steinsprang, sammenhengende eller tynt dekke
∩	504, Massetak i drift	Sl	302, Jord- og flomskred, sammenhengende eller tynt dekke
∩	505, Massetak, nedlagt eller i sporadisk drift	Ss	310, Snøskred, sammenhengende eller tynt dekke
Fl	53, Flomavsetning	Sb	88, Steinbreavsetning
⊕	551, Kilde (grunnvannsutslag)	T	90, Torv og myr
∩	552, Kildehorisont	∩	800, Loberik overflate

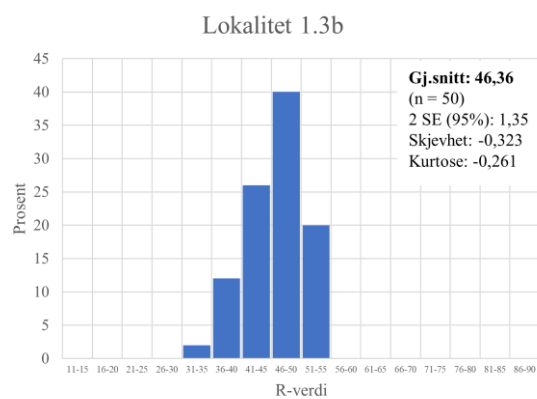
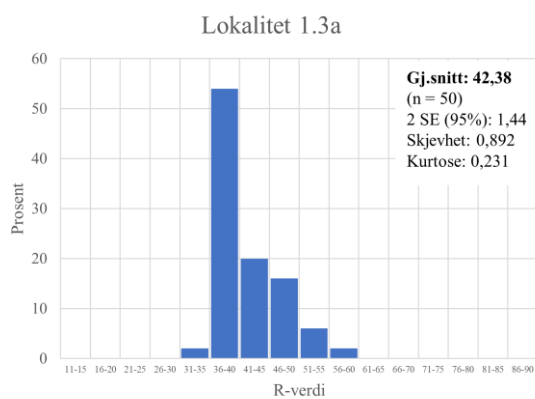
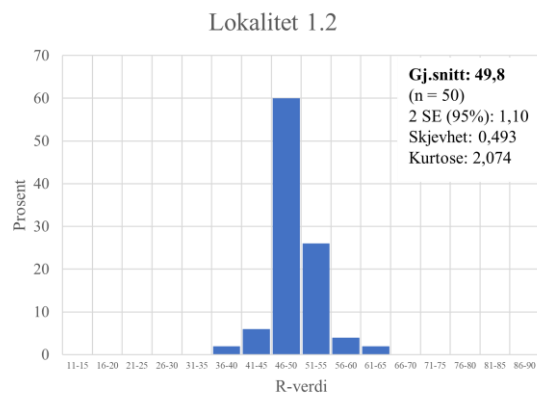
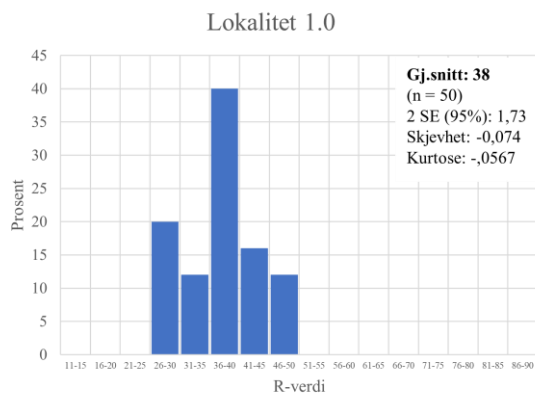
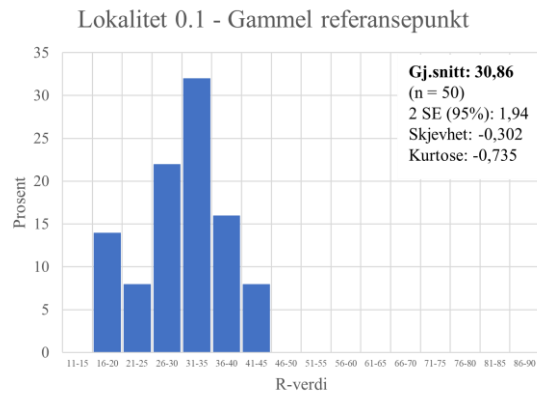
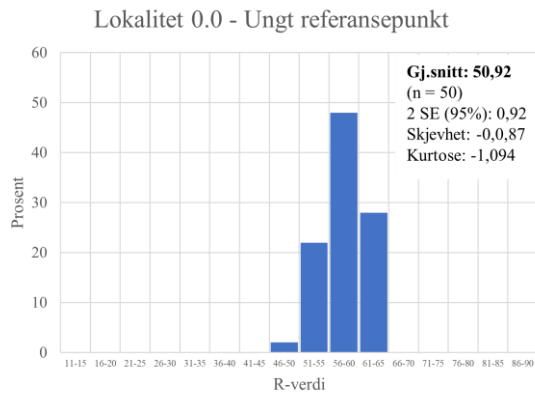
## Vedlegg 2: Oversikt over lokaliteter

Tabell 1: Lokalitetsoversikt med UTM, høyde over havet og hvilke undersøkelser som er gjort. SH = Schmidthammermåling, Kornform = Kornformanalyse

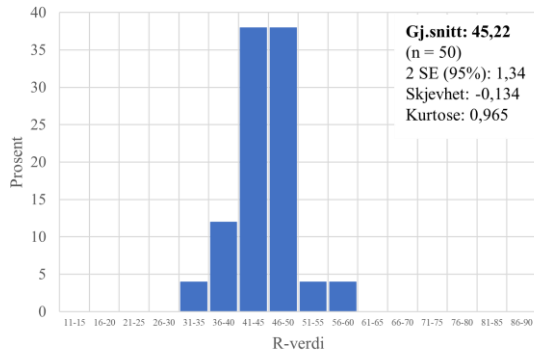
Lokalitet	Navn	UTM	moh.	SH	Kornform
0.0	Skei	32V 365695 6827148	244	x	
0.1	Bustegen	32V 368278 6825904	248	x	
1.0	Svarthammargjølet	32V 367743 6825818	218	x	
1.1	Svarthammargjølet	32V 367818 6825799	220		x
1.2	Svarthammargjølet	32V 367859 6825869	243	x	
1.3	Svarthammargjølet	32V 367815 6825967	282	x	x
2.1	Vikane 2	32V 368069 6825929	251	x	x
2.2	Vikane 2	32V 368040 6825906	252		
2.3	Vikane 2	32V 368027 6825771	210	x	
3.1.1	Stølskjelet	32V 368391 6825890	240	x	x
3.1.2	Stølskjelet	32V 368414 6825981	287	x	x
3.2.1	Stølskjelet	32V 368459 6826001	300	x	x
3.2.2	Stølskjelet	32V 368493 6825958	287	x	
3.2.3	Stølskjelet	32V 368436 6825850	223		x
4.1	Vikane 1	32V 368699 6825852	266		
5.1	Svåvikja	32V 368883 6825712	239	x	
5.2	Svåvikja	32V 368956 6825733	257	x	x
5.3	Svåvikja	32V 368921 6825846	302	x	
6.1.1	Streksvora 1	32V 369246 6825505	236		x
6.1.2	Streksvora 1	32V 369256 6825536	259	x	
7.1	Bjørnebakk	32V 369597 6825225	215		x
7.2	Bjørnebakk	32V 369637 6825248	235	x	
7.3	Bjørnebakk	32V 369700 6825244	273		x
8.1	Kattasva	32V 370298 6824879	322	x	x
8.2	Kattasva	32V 370277 6824764	255	x	x
9.1.1	Føreneset 1	32V 370758 6824706	321		
9.1.2	Føreneset 1	32V 370775 6824641	291		
9.1.3	Føreneset 1	32V 370724 6824600	274		
9.1.4	Føreneset 1	32V 370659 6824554	239	x	x
9.1.5	Føreneset 1	32V 370627 6824493	220		x
9.2.1	Føreneset 2	32V 370888 6824639	307	x	
9.2.2	Føreneset 2	32V 370906 6824625	293		x
9.2.3	Føreneset 2	32V 370849 6824525	254		
9.2.4	Føreneset 2	32V 370808 6824428	224	x	x

## Vedlegg 3: Frekvensdiagrammer

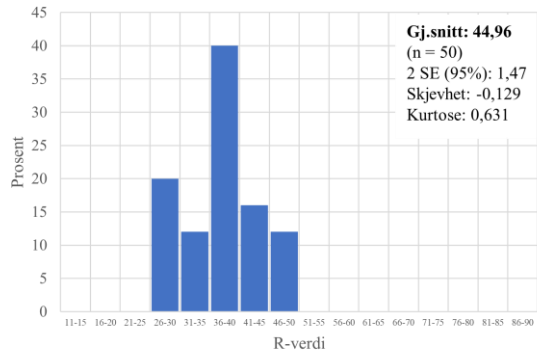
Frekvensdiagrammer fra de ulike Schmidthammerlokalitetene som viser hvordan de innsamlede R-verdiene på hver lokalitet er fordelt.. X-akse representerer R-verdi og y-akse representerer frekvens. De statistiske parameterne gjennomsnitt, antall målinger (n), 2 SE (95 % konfidensintervall), skjevhet og kurtose er også inkludert.



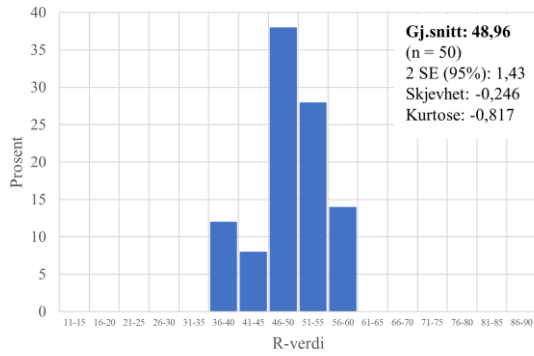
Lokalitet 1.3c



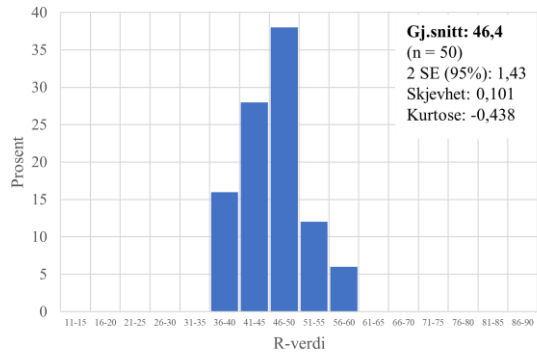
Lokalitet 2.1a



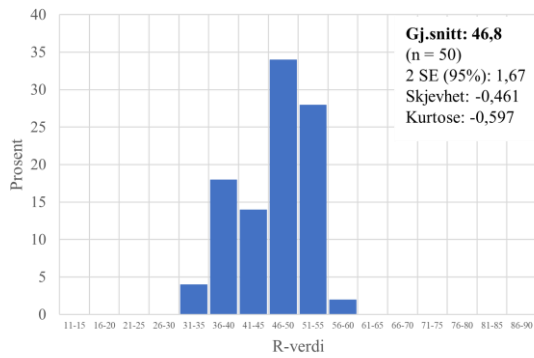
Lokalitet 2.1b



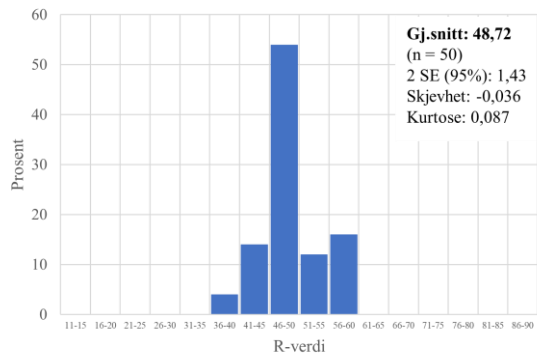
Lokalitet 2.3



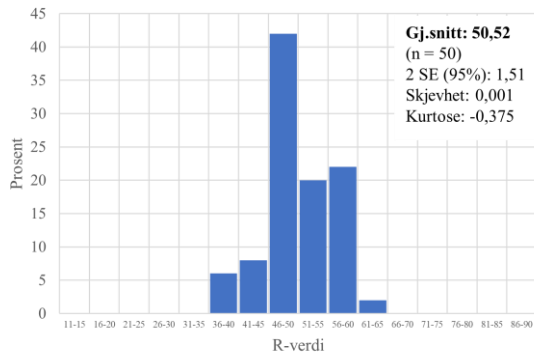
Lokalitet 3.1.1



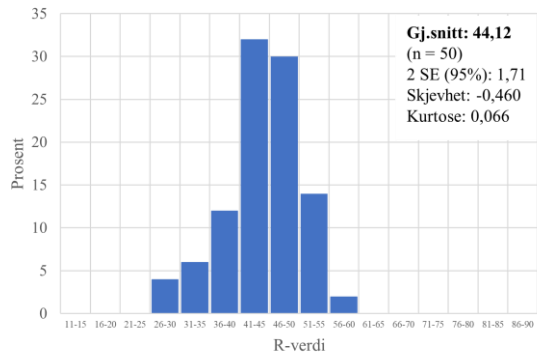
Lokalitet 3.1.2

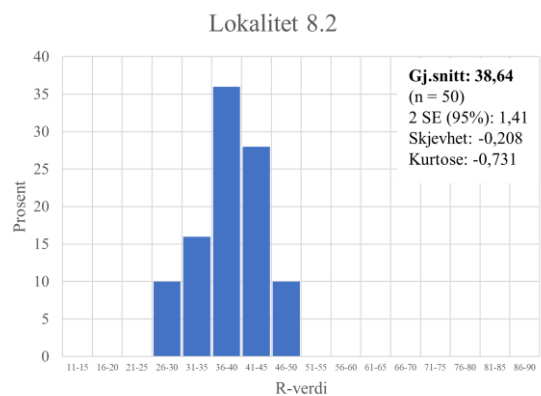
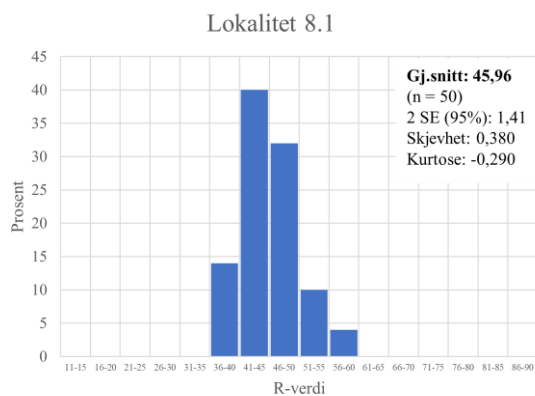
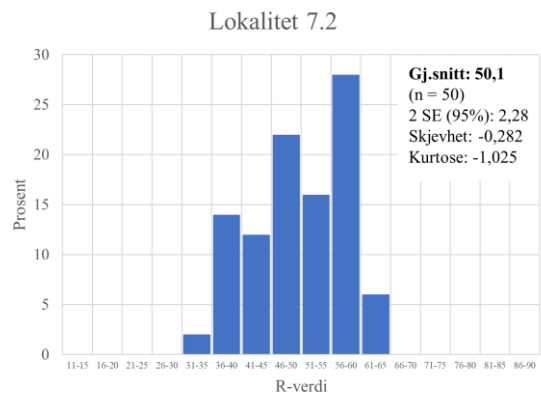
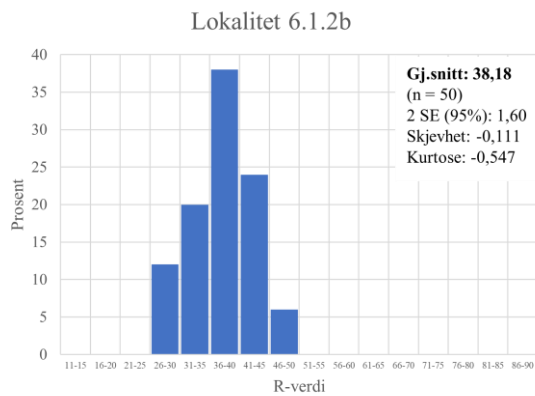
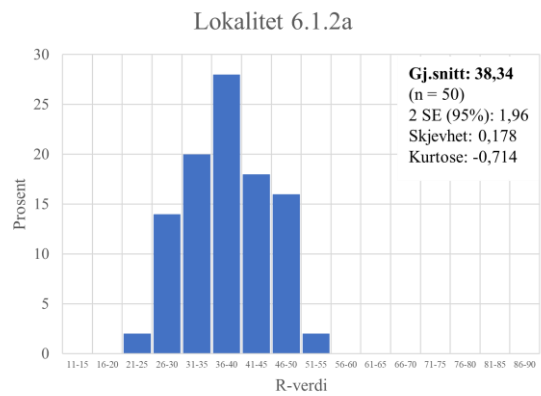
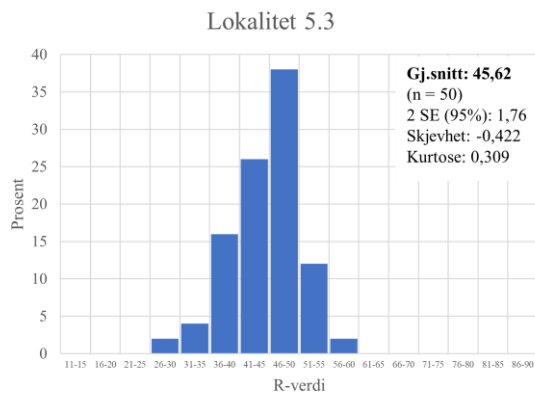
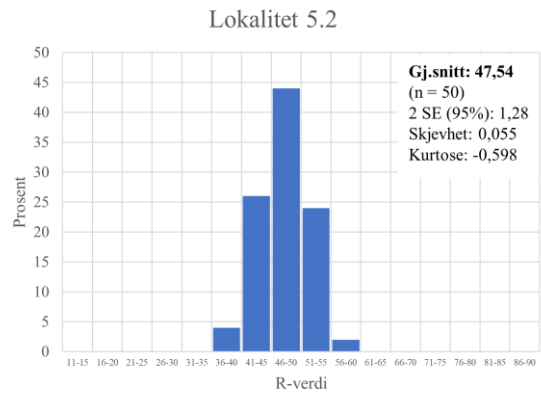
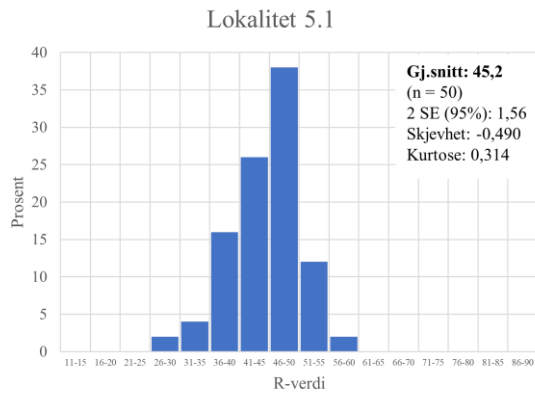


Lokalitet 3.2.1

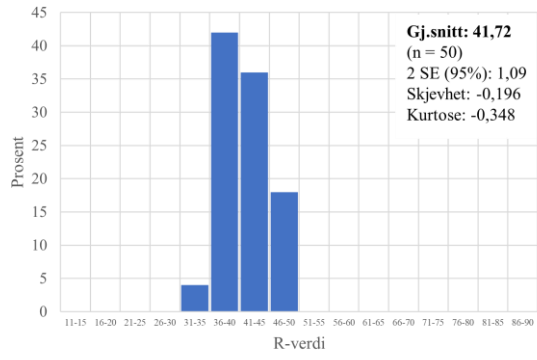


Lokalitet 3.2.2

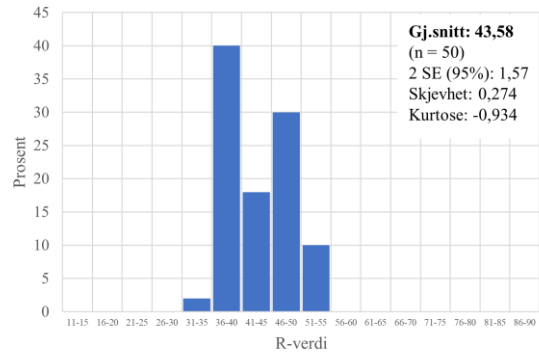




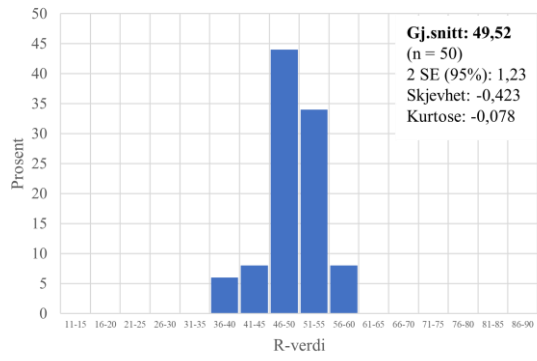
Lokalitet 9.1.4



Lokalitet 9.2.1



Lokalitet 9.2.4



## Vedlegg 4: SHD-aldre

Tabell 2: SHD-aldre på skredavsetningene, med deres 95% konfidensintervall (Ct) som er beregnet fra prøvens usikkerhet (Cs) og usikkerheten assosiert med kalibreringskurven (Cc). Tabellen inneholder også prøvenes minimums- og maksimumsalder. Aldre er oppgitt i kalenderår før nåtid.

Lokalitet	Alder $\pm$ Ct	Minimums alder	Maksimums alder	Cs	Cc
0.0	0 $\pm$ 672	-672	672	475	475
0.1	10360 $\pm$ 1002	9358	11362	1002	1001
1.0	6673 $\pm$ 1209	5464	7882	893	814
1.2	579 $\pm$ 760	-181	1339	568	505
1.3a	4411 $\pm$ 1021	3390	5432	744	699
1.3b	2355 $\pm$ 917	1438	3272	697	595
1.3c	2944 $\pm$ 932	2012	3876	692	625
2.1a	3078 $\pm$ 986	2092	4064	759	632
2.1b	1013 $\pm$ 907	106	1920	739	527
2.3	2335 $\pm$ 948	1387	3283	739	594
3.1.1	2128 $\pm$ 1041	1087	3169	862	583
3.1.2	1137 $\pm$ 911	226	2048	739	533
3.2.1	207 $\pm$ 919	-712	1126	780	486
3.2.2	3512 $\pm$ 1099	2413	4611	883	654
5.1	2954 $\pm$ 1020	1934	3974	806	625
5.2	1746 $\pm$ 869	877	2615	661	564
5.3	2738 $\pm$ 1098	1640	3836	909	614
6.1.2a	6497 $\pm$ 1294	5203	7791	1012	805
6.1.2b	6578 $\pm$ 1157	5421	7735	826	810
7.2	424 $\pm$ 1278	-854	1702	1177	497
8.1	2717 $\pm$ 952	1765	3669	728	613
8.2	6342 $\pm$ 1080	5262	7422	728	798
9.1.4	4751 $\pm$ 911	3840	5662	563	717
9.2.1	3791 $\pm$ 1050	2741	4841	811	668
9.2.4	723 $\pm$ 816	-93	1539	635	512